

**ЧИСЛЕННОЕ МОДЕЛИРОВАНИЕ ПРОЦЕССА НАКОПЛЕНИЯ  
И ВЫСВОБОЖДЕНИЯ УПРУГОЙ ЭНЕРГИИ  
В СТРУКТУРНО-НЕОДНОРОДНЫХ ГЕОМАТЕРИАЛАХ**

**С. В. Лавриков, А. Ф. Ревуженко**

*Институт горного дела им. Н. А. Чинакала СО РАН, E-mail: lvk64@mail.ru,  
Красный проспект, 54, 630091, г. Новосибирск, Россия*

С помощью метода дискретных элементов рассмотрен способ численного моделирования нагружения физического образца, позволяющий описать свойство горной породы запасать и высвобождать упругую энергию. Образец моделируется ансамблем частиц, между которыми происходит упруго-вязкое взаимодействие с учетом сухого трения. В качестве внешней упругой обвязки выступают граничные частицы, связанные между собой упругими пружинами. В целом модельный образец представляет собой элемент среды, способной запасать часть энергии деформирования в виде внутренних самоуравновешенных напряжений. Проведено численное моделирование сжатия образца, даны оценки запасаемой энергии. Показано, что в среде формируются кластеры, скольжение по границам которых приводит к срывам на диаграмме деформирования. Срывы также возможны в процессе релаксации напряжений после однократного динамического воздействия на образец. Численные результаты согласуются с экспериментальными.

*Геоматериал, самоуравновешенные напряжения, аккумулярование и высвобождение упругой энергии, численное моделирование, дискретные элементы*

Известно, что массив горных пород представляет собой сложную иерархическую структурно-неоднородную среду. Иерархия внутренней структуры играет важную роль в ряде квазистатических и динамических процессов деформирования [1 – 5]. Блочность строения породных массивов определяет такие его фундаментальные свойства, как дилатансию, внутреннее трение, сцепление, нелинейность поведения и анизотропию. Наряду с этим блочность массива допускает практически неограниченное число форм его равновесного состояния. При этом отдельные области массива могут быть “заряжены” энергией в виде внутренних самоуравновешенных напряжений, т. е. выступать в роли потенциальных источников энергии. При определенных условиях накопленная энергия может быть высвобождена, причем этот процесс может носить как устойчивый релаксационный, так и неустойчивый катастрофический характер в виде толчков и горных ударов.

Для необходимости учета свойства запасать и высвобождать упругую энергию есть достаточные основания. В работе [6] описан эффект последействия. Образцы горных пород цилиндрической формы помещались в камеру высокого гидростатического давления и затем нагружались дополнительным осевым давлением. После того как осевая необратимая деформация об-

разца достигала определенного уровня (иногда весьма значительного — до 25%), но такого, чтобы образец не разрушался, осуществлялась полная разгрузка. Установлено, что после разгрузки образцы приобретали следующее качество. С течением времени без какого-либо усилия извне их высота и диаметр самопроизвольно увеличивались, а будучи помещенными в динамометр без зазоров, они развивали некоторые усилия как в осевом, так и в боковом направлении. При этом образец совершал работу за счет внутренних ресурсов, приобретенных ранее.

Проводились лабораторные опыты по определению ползучести образцов горной породы, извлеченных с больших глубин [7]. В опытах наблюдалось аномальное поведение образцов при нагружении — мгновенное упругое укорачивание в направлении приложенной нагрузки. Дальнейшее развитие деформации ползучести происходило скачкообразно. Образцы горной породы после извлечения их из массива и полной разгрузки сохраняют высокий уровень внутренних напряжений [8]. Иногда этих напряжений оказывается достаточно для самопроизвольного разрушения образца. Существуют факты пространственного, объемного дробления геологических тел при всплытии пород с больших глубин, что связано с избыточным внутренним давлением по отношению к внешнему (тектоно-кессонный эффект) [9]. Известны также случаи, когда реакция массива горных пород на взрывные воздействия наблюдалась в течение длительного времени после взрыва [10]. В массиве фиксировались толчки, подвижки, а иногда и горные удары. Это свидетельствует о том, что происходит перераспределение и частичное высвобождение энергии, ранее запасенной в массиве в виде внутренних напряжений. При этом взрыв играет роль спускового механизма, нарушающего равновесие и приводящего к динамическому высвобождению запасенной энергии.

В работе [11] рассмотрен физический образец, моделирующий свойство блочной среды запасать и высвобождать упругую энергию. Он представляет собой пучок шероховатых стержней, стянутых упругой нитью (рис. 1). Серия лабораторных экспериментов [12] показала, что диаграмма нагружения такого образца носит “рваный” скачкообразный характер со множеством срывов (рис. 2). После сжатия и последующей полной разгрузки остаточная деформация образца весьма значительна, при этом внешняя упругая обвязка имеет большую длину, чем в исходном состоянии (до сжатия). Это означает, что часть энергии деформирования была запасена в виде энергии растянутой упругой нити. Упругое натяжение обвязки компенсируется трением между стержнями, и образец остается в равновесии даже в сжатом состоянии. Теоретические оценки [12] показали, что физический образец в зависимости от величины трения между стержнями способен запасать до 30% энергии, затраченной на его деформирование.

В настоящей работе проводится численное моделирование процесса деформирования физического образца из [11, 12] на основе метода дискретных элементов.

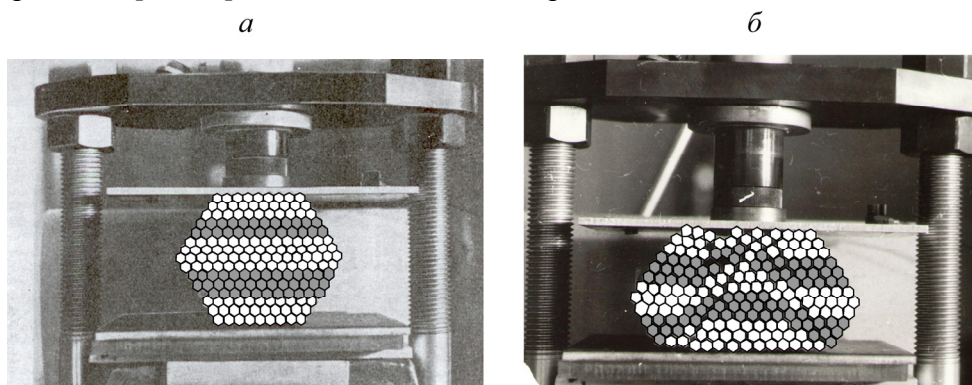


Рис. 1. Экспериментальное нагружение физического образца (шестигранные карандаши, связанные внешней упругой нитью): *а* — исходное состояние; *б* — промежуточная стадия сжатия

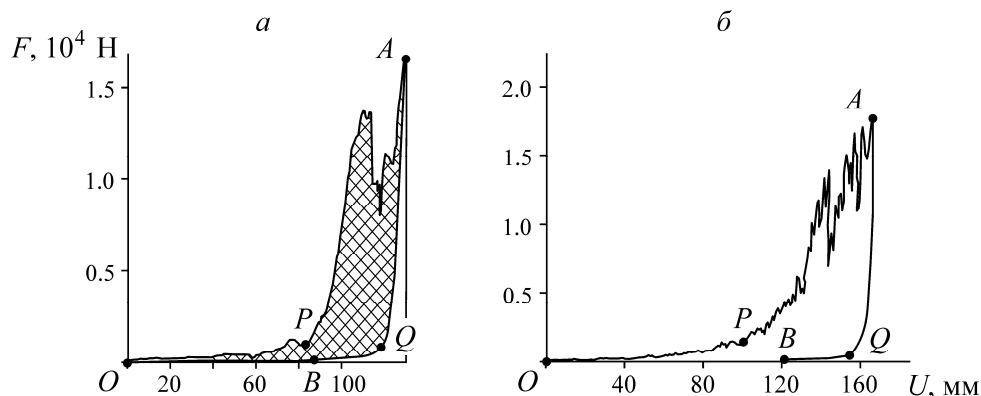


Рис. 2. Типичная экспериментальная диаграмма “сила–смещение” ( $OPA$  — стадия сжатия;  $AQB$  — разгрузка):  $a$  — образец из деревянных шестигранных карандашей;  $b$  — образец из тонких металлических спиц

### ПОСТАНОВКА ЗАДАЧИ

Рассмотрим задачу в плоской постановке. Пусть дан образец материала, лежащий на горизонтальной плоскости (рис. 3а). Светлые (внутренние) частицы имеют форму окружностей одинакового радиуса и моделируют несвязанный гранулированный материал. Темные (граничные) частицы играют роль внешней упругой обвязки — они представляют собой такие же частицы, как и внутренние, но с дополнительными связями — ближайшие соседи связаны между собой упругими пружинами. Начальная форма образца — результат предварительного расчета на установление с учетом веса среды. Образец, показанный на рис. 3а, находится в равновесном состоянии, все частицы покоятся, при этом упругое натяжение пружин между граничными частицами и сила тяжести компенсируются трением между контактирующими частицами.

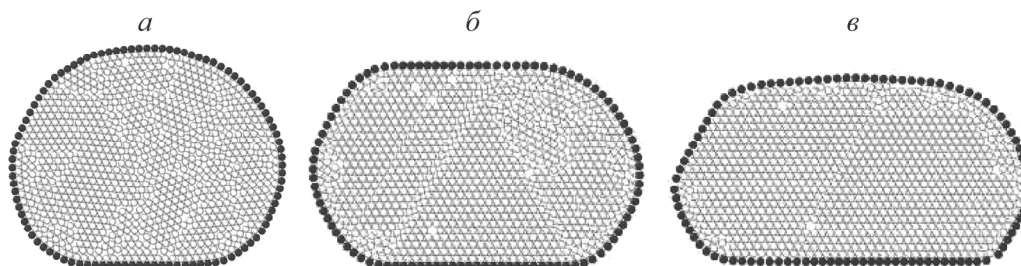


Рис. 3. Численное нагружение образца (темные частицы связаны упругими пружинами):  $a$  — исходное состояние;  $b$  — промежуточная стадия сжатия;  $v$  — состояние образца после разгрузки

Уравнения движения частиц представляют собой уравнения второго закона Ньютона для поступательного и вращательного движений:

$$m_i \frac{d\mathbf{v}_i}{dt} = \sum_{j=1}^{n_b} \mathbf{F}_{ij} + m_i \mathbf{g}, \quad J_i \frac{d\boldsymbol{\omega}_i}{dt} = \sum_{j=1}^{n_b} \mathbf{M}_{ij}, \quad i = \overline{1, N}, \quad (1)$$

где  $\mathbf{v}_i$ ,  $\boldsymbol{\omega}_i$  — соответственно векторы линейной и угловой скорости;  $m_i$ ,  $J_i$  — масса и момент инерции  $i$ -частицы;  $\mathbf{F}_{ij}$ ,  $\mathbf{M}_{ij}$  — соответственно главный вектор и главный момент сил, действующие на  $i$ -частицу со стороны  $j$ -частицы;  $n_b$  — количество соседних частиц, с которыми  $i$ -частица имеет контакт в текущий момент времени;  $N$  — общее число частиц;  $\mathbf{g}$  — вектор ускорения свободного падения. Для расчета силы, возникающей при контакте час-

тиц, используется вязкоупругая модель Кельвина – Фойгта с учетом нормальной и касательной составляющих, дополненная упругими связями граничных частиц. При расчете нормальной составляющей силы использован закона Герца контактной механики [13], при расчете касательной составляющей — представления Миндлина – Дересевича [14, 15]. Упругое взаимодействие связанных граничных элементов описывается с помощью линейного закона Гука. Уравнения для расчета сил имеют следующий вид:

$$\begin{aligned} \mathbf{F}_{ij} &= F_{n,ij} \mathbf{n}_{ij} + F_{t,ij} \mathbf{t}_{ij}, \\ F_{n,ij} &= k_{n,ij} d_{n,ij} - \gamma_{n,ij} v_{n,ij} + k_{s,pq} l_{pq} \delta_{ip} \delta_{jq}, \\ F_{t,ij} &= k_{t,ij} d_{t,ij} - \gamma_{t,ij} v_{t,ij}, \end{aligned} \quad (2)$$

где  $\mathbf{n}_{ij}$ ,  $\mathbf{t}_{ij}$  — нормальные и касательные единичные векторы для плоскости контакта  $i, j$ -частиц;  $v_{n,ij}$ ,  $v_{t,ij}$  — нормальная и касательная проекции вектора относительной скорости в точке контакта;  $d_{n,ij}$ ,  $d_{t,ij}$  — нормальное перекрытие и касательное проскальзывание между частицами;  $k_{s,pq}$  — жесткость пружин внешней обвязки;  $l_{pq}$  — расстояние между связанными граничными частицами;  $p, q \in \Gamma$  — множество связанных частиц границы;  $\delta_{ij}$  — символ Кронекера. Упругие  $k_{n,ij}$ ,  $k_{t,ij}$  и вязкие  $\gamma_{n,ij}$ ,  $\gamma_{t,ij}$  модули в соотношении (2) взяты в соответствии с работами [16–18]:

$$\begin{aligned} k_{n,ij} &= \frac{4}{3} E^* \sqrt{R^* d_{n,ij}}, \quad k_{t,ij} = 8G^* \sqrt{R^* d_{n,ij}}, \\ \gamma_{n,ij} &= -2\sqrt{\frac{5}{6}} \beta \sqrt{S_{n,ij} m^*}, \quad \gamma_{t,ij} = -2\sqrt{\frac{5}{6}} \beta \sqrt{S_{t,ij} m^*}, \\ S_{n,ij} &= 2E^* \sqrt{R^* d_{n,ij}}, \quad S_{t,ij} = 8G^* \sqrt{R^* d_{n,ij}}, \\ \beta &= \frac{\ln(e)}{\sqrt{\ln^2(e) + \pi^2}} < 0. \end{aligned} \quad (3)$$

Здесь  $0 \leq e \leq 1$  представляет собой коэффициент восстановления скорости (отношение нормальной составляющей вектора скорости разлета частиц после соударения к соответствующей скорости их подлета до соударения), обобщенные величины  $R^*$ ,  $m^*$ ,  $E^*$ ,  $G^*$  вычисляются по формулам:

$$\begin{aligned} \frac{1}{R^*} &= \frac{1}{R_i} + \frac{1}{R_j}, \quad \frac{1}{m^*} = \frac{1}{m_i} + \frac{1}{m_j}, \quad \frac{1}{E^*} = \frac{(1-\nu_i)^2}{E_i} + \frac{(1-\nu_j)^2}{E_j}, \\ \frac{1}{G^*} &= \frac{2(2-\nu_i)(1+\nu_i)}{E_i} + \frac{2(2-\nu_j)(1+\nu_j)}{E_j}, \end{aligned} \quad (4)$$

где  $R_i$ ,  $m_i$ ,  $E_i$ ,  $\nu_i$  — соответственно радиус, масса, модуль Юнга и коэффициент Пуассона  $i$ -частицы. Величина касательной силы  $F_{t,ij}$  вычисляется в соответствии с соотношением (2) только до определенного момента, а именно пока  $F_{t,ij} \leq \text{tg} \varphi \cdot F_{n,ij}$  (стадия развивающегося трения), в противном случае  $F_{t,ij} = \text{tg} \varphi \cdot F_{n,ij}$  (стадия развитого трения), где  $\text{tg} \varphi$  — коэффициент сухого трения частиц.

## РЕЗУЛЬТАТЫ ЧИСЛЕННОГО МОДЕЛИРОВАНИЯ

В соответствии с экспериментами [12] программа нагружения образца разделена на два этапа: сжатие между двумя горизонтальными пластинами до некоторого фиксированного значения деформации и последующая полная разгрузка.

В качестве параметров расчета выберем  $\varphi = 15^\circ$ ,  $e = 0.7$ ,  $E = 12000$  МПа,  $\nu = 0.2$ ,  $\rho = 0.5$  г/см<sup>3</sup>,  $k_{s,pq} = 3000$  Н,  $R = 1$  мм. Сжимающие пластины предполагаются абсолютно гладкими, трение по их поверхности отсутствует. Указанные параметры одинаковы для всех частиц образца, включая граничные частицы. Следует отметить, что параметры плотности частиц и жесткости пружин подобраны таким образом, чтобы образец, стянутый упругой обвязкой, под действием собственного веса приобретал равновесную форму, приближающуюся к показанной на рис. 3а.

Расчеты, проведенные на основе модели (1)–(4) для принятой программы нагружения, показывают, что в процессе сжатия образца в среде наблюдается переупаковка частиц, которая происходит за счет формирования кластеров и раскрытия магистральных трещин между ними. С увеличением проскальзывания между кластерами после переупаковки трещины “залечиваются”. На рис. 3б представлена конфигурация образца в один из промежуточных моментов сжатия, где отчетливо видны сформированные магистральные трещины.

Внешняя упругая обвязка при сжатии образца растягивается и запасает часть энергии, затрачиваемой на его деформирование. Расчетная диаграмма “сила–перемещение” на стадии сжатия (участок *OA*) имеет скачкообразный характер: участки роста диаграммы связаны с раскрытием трещин, срывы — с относительными проскальзываниями кластеров (рис. 4).

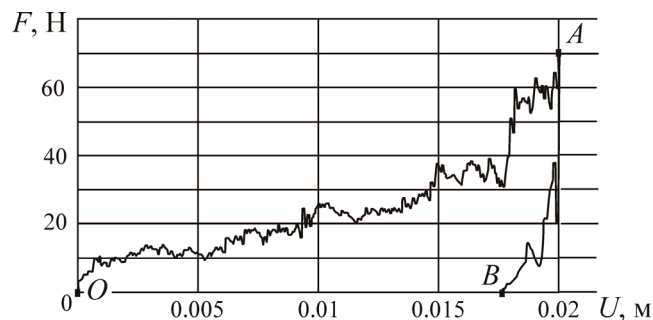


Рис. 4. Расчетная диаграмма “сила–перемещение”: *OA* — стадия сжатия; *AB* — разгрузка

Разгрузка также сопровождается рядом скачков, вызванных высвобождением энергии, запасенной во внешней упругой обвязке (участок *AB*). После полной разгрузки и последующей релаксации финальная конфигурация образца имеет значительную остаточную деформацию (около  $\sim 23\%$ ) по сравнению с исходным состоянием (см. рис. 3в). При этом упругая обвязка имеет большую длину и, следовательно, в ней запасена часть энергии, затраченной на деформирование. Напряжение растянутой упругой обвязки компенсируется трением между частицами, и образец после цикла “сжатие–разгрузка–релаксация” находится в равновесии, но при этом он “заряжен” энергией, которая может стать доступной при некотором внешнем воздействии.

На рис. 5 приведен график величины энергии упругих элементов, отнесенной к общей работе, затраченной на деформирование образца. Видно, что в процессе нагружения процент запасенной упругой энергии меняется и в момент максимального сжатия образца (точка *A*) составляет  $\sim 60\%$ . При разгрузке часть запасенной энергии возвращается, растянутые пружины сжимаются и образец стремится принять форму, приближающуюся к исходной. В момент полного снятия внешней нагрузки, когда верхняя сжимающая пластина при своем движении вверх

полностью отрывается от образца (точка  $B$ ), запасенная энергия составляет  $\sim 47\%$ . Оказывается, что после снятия внешней нагрузки процесс деформирования образца не заканчивается. Релаксация образца (участок  $BD$ ) сопровождается рядом динамических скачков (моменты крупных скачков обозначены точками  $B_1$ ,  $B_2$ ), в результате которых внешняя упругая обвязка уменьшает свою длину, а часть запасенной энергии высвобождается. Этот процесс происходит самопроизвольно, т. е. за счет внутренних ресурсов образца, которые он приобрел на предыдущих этапах деформирования. В точке  $C$  на диаграмме процесс достигает равновесного состояния, после чего перекачки энергии (потенциальной в кинетическую и наоборот) уже не происходит. Окончательная доля аккумулируемой в образце энергии составляет  $\sim 27\%$ .

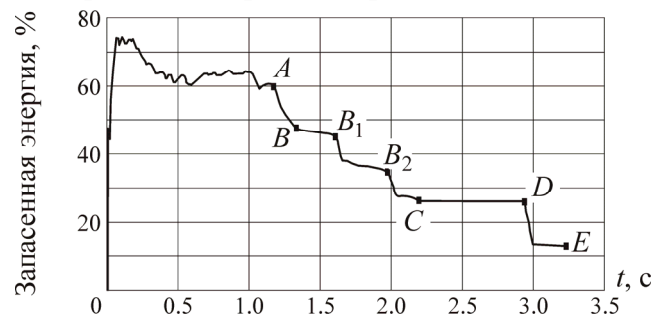


Рис. 5. Величина запасенной энергии по отношению к общей работе, затраченной на деформирование:  $OA$  — сжатие;  $AB$  — разгрузка;  $BD$  — релаксация;  $B_1$ ,  $B_2$  — моменты самопроизвольных динамических скачков;  $D$  — момент нанесения ударного воздействия;  $E$  — момент окончательного равновесного состояния образца

После стадии “сжатие–разгрузка” и полной релаксации (точка  $D$ ) по боковой поверхности образца (слева и справа) нанесено одноразовое кратковременное ударное воздействие. Воздействие прикладывалось силой, составляющей  $65\%$  от силы максимального сжатия образца, но в течение очень короткого промежутка времени, так что его суммарная энергия составила  $\sim 4\%$  от всей энергии, ранее затраченной на деформирование образца. После нанесения ударного воздействия вновь наступала стадия релаксации (участок  $DE$ ). Оказалось, что в процессе нанесения ударного воздействия и последующей релаксации часть запасенной упругой энергии снова высвобождается. Образец скачком меняет свою конфигурацию, приближаясь к исходной форме, а растянутая упругая обвязка уменьшает свою длину. Расчеты показывают, что после ударного воздействия и релаксации процент запасенной в образце энергии по отношению к общей работе, затраченной на весь процесс деформирования, составил  $\sim 19\%$  (точка  $E$ ). Если сравнить запасенную энергию до ударного воздействия и после него, то в процессе динамического удара образец высвободил около  $\sim 30\%$  запасенной в нем энергии, что существенно превышает энергию самого ударного воздействия.

В целом полученные результаты численного моделирования показывают хорошее качественное и количественное соответствие данным лабораторных экспериментов по величине запасенной энергии [12]. Указанный образец среды, в котором граничные частицы соединены упругими пружинами, представляет собой связную среду. Он может служить в качестве одного из структурных элементов для формирования объема структурно-неоднородной среды. Такая среда будет обладать рядом свойств горной породы — дилатансией, внутренним трением, сцеплением, а также свойством аккумулировать и высвободить упругую энергию. Рассмотренный способ численного моделирования с применением метода дискретных элементов и дополнительного слагаемого для описания упругих связей частиц может быть использован для моделирования процессов деформирования и анализа устойчивости массива горных пород с учетом больших (конечных) деформаций в различных прикладных задачах геомеханики.

**ВЫВОДЫ**

Введение специального потенциала взаимодействия между частицами среды в рамках метода дискретных элементов позволяет описать свойство геоматериала запасать и высвободить упругую энергию.

Диаграмма численного сжатия образца включает в себя ряд ниспадающих участков (динамических срывов).

Сжатие образца геоматериала приводит к аккумулярованию части энергии деформирования в виде внутренних самоуравновешенных напряжений. Незначительное внешнее воздействие может сыграть роль триггера и привести к динамическому высвобождению накопленной энергии.

**СПИСОК ЛИТЕРАТУРЫ**

1. Садовский М. А. Об естественной кусковатости горных пород // ДАН. — 1979. — Т. 247. — № 4. — С. 829–833.
2. Деструкция земной коры и процессы самоорганизации в областях сильного техногенного воздействия / [Опарин В. Н. и др.]; отв. ред. акад. Н. Н. Мельников. — Новосибирск: Изд-во СО РАН, 2012. — 631 с.
3. Соболев Г. А., Пономарев А. В. Физика землетрясений и предвестники. — М.: Наука, 2003. — 270 с.
4. Кочарян Г. Г., Спивак А. А. Динамика деформирования блочных массивов горных пород. — М.: ИКЦ Академкнига, 2003.
5. Пономарев В. С. Проблемы изучения энергетически активной геологической среды // Геотектоника. — 2011. — № 2. — С. 66–75.
6. Ставрогин А. Н., Ширкес О. А. Явление последействия в горных породах, вызванное предшествующей необратимой деформацией // ФТПРПИ. — 1986. — № 4. — С. 16–27.
7. Файф У., Прайс К., Томпсон А. Флюиды в земной коре. — М.: Мир, 1981. — 438 с.
8. Влох Н. П., Липин Я. И., Сашурин А. Д. Исследование остаточных напряжений в крепких горных породах // Современные проблемы механики горных пород. — М.: Наука, 1972. — С. 186–189.
9. Горяинов П. М., Давиденко И. В. Тектоно-кессонный эффект в массивах горных пород и рудных месторождений — важное явление геодинамики // ДАН. — 1979. — Т. 247. — № 5. — С. 1212–1215.
10. Курленя М. В., Адушкин В. В., Гарнов В. В., Опарин В. Н., Ревуженко А. Ф., Спивак А. А. Знакопеременная реакция горных пород на динамическое воздействие // ДАН. — 1992. — Т. 323. — № 2. — С. 263–265.
11. Ревуженко А. Ф. Горная порода — среда с внутренними источниками и стоками энергии. Сообщ. 1 // ФТПРПИ. — 1990. — № 4. — С. 14–21.
12. Лавриков С. В., Ревуженко А. Ф. Об одной экспериментальной модели горной породы // ФТПРПИ. — 1991. — № 4. — С. 24–30.
13. Джонсон К. Механика контактного взаимодействия. — М.: Мир, 1989. — 509 с.
14. Mindlin R. D. Compliance of elastic bodies in contact, J. Appl. Mech., 1949, Vol. 16. — P. 259–268.
15. Mindlin R. D., Deresiewicz H. Elastic spheres in contact under varying oblique forces, J. Appl. Mech., Trans. ASME, 1953, Vol. 20. — P. 327–344.
16. Клишин С. В., Микенина О. А., Ревуженко А. Ф. Деформирование сыпучего материала вокруг жесткого цилиндрического включения // ФТПРПИ. — 2014. — № 2. — С. 47–53.
17. Ревуженко А. Ф., Клишин С. В. Численный метод построения континуальной модели деформирования твердого тела, эквивалентной заданной модели дискретных элементов // Физ. мезомеханика. — 2012. — Т. 15. — № 6. — С. 35–44.
18. Lavrikov S. V., Revuzhenko A. F. DEM Code-based modeling of energy accumulation and release in structurally heterogeneous rock masses, AIP Conference Proceedings 1683, 020121 (2015); doi: 10.1063/1.4932811.

Поступила в редакцию 27/V 2016